

**К ОБЩЕМУ АНАЛИЗУ НЕУСТОЙЧИВОСТИ
ФРОНТА ПЛАМЕНИ
В СЖИМАЕМОЙ ИДЕАЛЬНОЙ СРЕДЕ**

П. П. Лазарев, А. С. Плешанов

(Москва)

В [1] при исследовании устойчивости фронта пламени в сжимаемой идеальной (недиссипативной) среде было получено характеристическое уравнение, которое в безразмерной форме имеет вид

$$\begin{aligned} z_1 \{ & (1 + \varphi)(z_2 + w_2)[\Lambda(z_1 + w_1)z_1 - 1] + [2(\lambda - 1)\Lambda - \\ & - (1 - M_1^2)](z_1 + w_1)[(z_2^2 - 1) - (1 + \varphi)(z_2 + w_2)z_2] \} - \\ & - (1 + \varphi)(z_2 + w_2) \cdot [(\Lambda - M_1^2)(z_1 + w_1) + w_1][z_1z_2 - (\lambda - 1)] = 0. \quad (1) \end{aligned}$$

Здесь $z_\alpha = \Omega/(ku_\alpha)$ — безразмерная частота ($\Omega = -i\omega$, k — волновой вектор возмущения вдоль фронта при условии $\text{Im}(k) = 0$; u_α — скорость среды, нормальная к фронту; $\alpha = 1, 2$ — индекс, относящийся к средам до и после фронта соответственно); $w_\alpha = k_\alpha/k$ — безразмерное волновое число (k_α — волновое число акустического возмущения); $\lambda = \rho_1/\rho_2 = u_2/u_1 > 1$ (ρ_α — плотность); $\Lambda = u_1 dj/dp_1$ (j — удельный поток массы, причем предполагается $j \sim p_1^n$); $M_\alpha = u_\alpha/c_\alpha$ — число Маха (c_α — скорость звука); $\varphi = j^2(\partial V_2/\partial p_2)_n$ — параметр, введенный в [2], причем $\sqrt{-\varphi} = M_n$ — эффективное число Маха на кривой Гюгонио [1]; p_α — давление и V_α — удельный объем. При этом w_α удовлетворяют дисперсионным уравнениям [1] в безразмерной форме

$$w_\alpha^2 - 1 = M_\alpha^2(z_\alpha + w_\alpha)^2. \quad (2)$$

Используем представления

$$z_\alpha = x_\alpha + iy_\alpha, \quad w_\alpha = u_\alpha + iv_\alpha, \quad (3)$$

причем по определению z_α имеет место связь $z_1 = \lambda z_2$.

Границы областей устойчивости соответствуют условию $x_\alpha = 0$ (так называемые нейтральные кривые). Если при этом $u_1 > 0$ и $u_2 < 0$, то такая кривая дает границу области абсолютной устойчивости (величины y_α , v_α произвольны, и, в частности, возможна ситуация $y_\alpha = 0$, т. е. $z_\alpha = 0$); если $u_\alpha = 0$ и $y_\alpha, v_\alpha \neq 0$, то получаем границы областей частичной устойчивости, при которой имеют место незатухающие осцилляции [2, 3].

В [1] получена одна граница области абсолютной устойчивости, соответствующая частной ситуации $z_\alpha=0$. Эта граница определяется условием

$$\Lambda + 1 - M_1^2 = 0 \quad \text{или} \quad n_6 = -(1 - M_1^2) \frac{p_1}{\rho_1 u_1^2}, \quad (4)$$

так что при $n < n_6$ имеет место абсолютная устойчивость. В данной работе находятся остальные границы при $y_\alpha \neq 0$.

Преобразуем (1), выразив в нем φ через M_2 с помощью соотношения [1],

$$-\frac{1+\varphi}{M_2^2+\varphi} \psi = 1 + \left(1 - \frac{1}{\Lambda}\right)^{-1} \equiv \frac{1-2\bar{\Lambda}}{1-\bar{\Lambda}}, \quad (5)$$

где $\psi = \frac{p_1-p_2}{T_2} \left(\frac{\partial V_2}{\partial s_2}\right)_{p_2}$; $\bar{\Lambda} = \frac{\lambda-1}{1-M_1^2} \Lambda$; T — температура; s — энтропия.

Уравнение (1) принимает вид

$$\begin{aligned} z_1 \{v_2 [\bar{\Lambda} v_1 z_1 - (\lambda - 1)] + (\lambda - 1) v_1 \{[(2 + \psi) \bar{\Lambda} - \\ - (1 + \psi)] (z_2^2 - 1) - (2\bar{\Lambda} - 1) v_2 z_2\} + v_2 [(\lambda - 1) z_1 - \\ - (\bar{\Lambda} + \lambda - 1) v_1] [z_1 z_2 - (\lambda - 1)] = 0, \end{aligned} \quad (6)$$

где $v_\alpha = (1 - M_\alpha^2)(z_\alpha + w_\alpha)$.

Для пламени, когда $p_1 > p_2$, в среде с нормальным тепловым расширением, т. е. при

$$(\partial s / \partial V)_p = c_p / T \cdot (\partial T / \partial V)_p > 0,$$

имеет место $\psi > 0$. Тогда из (5), учитывая в случае пламени неравенства $M_\alpha < 1$ (см., например, [4]), получим

$$\begin{array}{ll} M_2 < M_H < 1 & (\bar{\Lambda} > 1), \\ M_H < M_2 < 1 & \text{или } M_2 < 1 < M_H \quad (1/2 < \bar{\Lambda} < 1), \\ M_2 < M_H < 1 & (\bar{\Lambda} < 1/2). \end{array}$$

Приведем далее необходимую газодинамическую информацию, согласно [5]. Рассмотрим для простоты идеальный газ с постоянными молекулярным весом μ , теплоемкостью c_v и отношением теплоемкостей γ . Уравнение кривой Гюгонио имеет вид [5]

$$(\pi + \delta)(\lambda - \delta) = (1 - \delta^2)(1 + \omega^2), \quad (7)$$

где $\pi = p_2/p_1 < 1$; $\delta = (\gamma - 1)/(\gamma + 1)$; $\omega^2 = 1/(1 + \delta) \cdot q/c_v T_1$ (q — удельный тепловой эффект реакции). Имеют место соотношения

$$\begin{aligned} M_1 &= \sqrt{1/\gamma \cdot (1-\pi)/(\lambda-1)}, \quad M_2 = \sqrt{\lambda/\pi} \cdot M_1, \\ M_{H\infty} &= (\lambda - \delta)/(1 - \delta) \sqrt{1 + \omega^2} \cdot M_1, \end{aligned} \quad (8)$$

где $M_{H\infty}$ — значение M_H при $\bar{\Lambda} = \infty$. При этом

$$\begin{aligned} \lambda_- < \lambda \leq \lambda_+, \quad \pi_- > \pi \geq \pi_+; \\ \lambda_- = 1 + (1 - \delta) \omega^2, \quad \lambda_+ = \lambda_- + (1 - \delta) \omega \sqrt{1 + \omega^2}; \\ \pi_- = 1, \quad \pi_+ = \pi_- - (1 + \delta) \omega (\omega + \sqrt{1 + \omega^2})^{-1}; \\ 0 < M_1 \leq M_{H+} = (\omega + \sqrt{1 + \omega^2})^{-1}, \quad 0 < M_{H\infty} \leq 1; \\ 0 < M_1 < M_2 \leq M_{H\infty} \leq 1. \end{aligned} \quad (9)$$

Здесь правые предельные значения соответствуют дефлаграции Чепмена — Жуге, при которой $M_1=M_{1+}$ и $M_2=M_{H\infty}=1$. Обращаем внимание на то, что M_{1+} зависит только от ω и убывает с ростом ω . Исследование (1) или (6) проводится аналогично [3, 6]. Сложность данного рассмотрения по сравнению с [3] заключается в том, что настоящий анализ как бы двумерный по отношению к одномерному исследованию [3].

Уравнение (1) линейно относительно параметра Λ . Естественно поэтому находить границы областей устойчивости на диаграмме $\Lambda—M_1$ (частный пример такой кривой дается (4) [1]). При $M_1=M_2=M_H=\Lambda=0$, когда $w_1=1$ и $w_2=-1$, (1) сводится к уравнению [4, 7]

$$(\lambda + 1)z_1^2 + 2\lambda z_1 - \lambda(\lambda - 1) = 0, \quad (10)$$

которое ввиду $\lambda > 1$ дает неустойчивость. При $M_2=M_H=1$ имеем из (1)

$$z_1(z_1 + w_1)(z_2^2 - 1) = 0. \quad (11)$$

Для акустических возмущений ситуация $z_\alpha + w_\alpha = 0$ является вырожденной и потому отбрасывается. Ситуация $z_2 = \pm 1$, как это следует из (2), дает

$$w_2 = \mp 1 \quad \text{или} \quad w_2 = \pm \frac{1 + M_2^2}{1 - M_2^2},$$

т. е., отбрасывая физически нереальные решения с $u_2 > 0$, имеем

$$w_2 = -1 \quad \text{или} \quad w_2 = -\frac{1 + M_2^2}{1 - M_2^2}.$$

Первое решение дает $z_2 + w_2 = 0$ и потому отбрасывается; второе решение дает устойчивость. Последняя возможная ситуация $z_1 = 0$ приводит к значениям $u_1 = (1 - M_1^2)^{-1/2}$, $v_1 = 0$, что означает устойчивость. Таким образом, при $M_2=M_H=1$ получаем абсолютную устойчивость.

При $\Lambda = \infty$ уравнение (1) имеет вид характеристического уравнения [2, 3]

$$2\lambda z_2(z_2^2 - 1) = (1 + \varphi)(z_2 + w_2)(\lambda z_2^2 - 1) \quad (12)$$

(точнее, в [3] под λ подразумевается обратная величина). Критерий абсолютной устойчивости [2, 3] в данном случае имеет вид

$$-1 < \varphi < 1 - 2M_2. \quad (13)$$

Проводя анализ, аналогичный [3], убедимся с помощью (7) — (9), что неравенства (13) в данной ситуации выполняются. Можно показать, что второй критерий абсолютной устойчивости [3] здесь неприменим, так как φ меняется монотонно при изменении параметра $\mu_2 = v_2/y_2$, введенного в [3]. Таким образом, при $\Lambda = \infty$ режим абсолютно устойчив.

Принимая также во внимание наличие границы области абсолютной устойчивости (4), приходим к выводу, что на диаграмме $\Lambda—M_1$ должна существовать по крайней мере еще одна граница области абсолютной устойчивости, которая справа должна пересекать вертикаль $M_1 = M_{1+}$, а слева — стремиться к бесконечности при $M_1 \rightarrow 0$.

Здесь приводится прямое доказательство существования такой кривой, которая оказывается единственной и для которой удается найти

простое аналитическое выражение. Полагая $x_\alpha=0$ и $y_\alpha, u_\alpha, v_\alpha \neq 0$, получим из (2)

$$u_1 = \frac{\sqrt{(1-M_1^2) - M_1^2 y_1^2}}{1-M_1^2} > 0, \quad v_1 = \frac{M_1^2}{1-M_1^2} y_1;$$

$$u_2 = \frac{\sqrt{(1-M_2^2) - M_2^2 y_2^2}}{1-M_2^2} < 0, \quad v_2 = \frac{M_2^2}{1-M_2^2} y_2,$$

так что

$$v_1 = \sqrt{(1-M_1^2) - M_1^2 y_1^2} + iy_1 \equiv v_{1r} + iv_{1i}, \quad (14)$$

$$v_2 = -\sqrt{(1-M_2^2) - M_2^2 y_2^2} + iy_2 \equiv v_{2r} + iv_{2i}.$$

Подставляя $z_\alpha = iy_\alpha$ и v_α в (6), представим (6) в виде

$$(U_1 + iV_1)\bar{\Lambda} = U_2 + iV_2,$$

откуда $\bar{\Lambda} = U_2/U_1 = V_2/V_1$. Для V_α получаются выражения

$$V_1 = V_2 = v_{1r}y_2 \{ (1 - y_1y_2) - \lambda [2 + \psi(1 + y_2^2)] \} + v_{2r}y_1(1 + y_1y_2).$$

Можно показать, что $V_1 = V_2 \neq 0$ и, следовательно, $\bar{\Lambda} = 1$, т. е. кривая

$$n_1 = (1 - M_1^2) \frac{p_1}{\rho_2 u_2^2 - \rho_1 u_1^2} \quad (15)$$

является единственной искомой границей при $y_\alpha, u_\alpha, v_\alpha \neq 0$. Обращаем внимание на то, что 1) значение $\bar{\Lambda} = 1$ выше отмечалось как критическое (см. (5)); 2) существует аналогия между аналитическими представлениями границ (4) и (15).

Если в (6) подставить значение $\bar{\Lambda} = 1$, то (6) приобретает вид

$$z_1 [(v_1 + \lambda v_2) z_2 - v_1 v_2] (z_2^2 - 1) = 0,$$

откуда ввиду доказанного выше неравенства $z_1(z_2^2 - 1) \neq 0$ следует

$$\lambda/v_1 + 1/v_2 = 1/z_2. \quad (16)$$

Можно показать, что мнимая часть этого уравнения при $x_\alpha = 0$ и учете (14) удовлетворяется тождественно, тогда действительная часть дает уравнение для определения y_α^2 на найденной границе области абсолютной устойчивости.

Интересно, что особое значение величины $\bar{\Lambda} = 1$ видно из преобразованной простой формы (6)

$$\left[\frac{z_1 z_2 - 1}{z_1 (z_2^2 - 1)} - \frac{2 + \psi}{v_2} \right] (\bar{\Lambda} - 1) = \left(\frac{\lambda}{v_1} + \frac{1}{v_2} \right) - \frac{1}{z_2}, \quad (17)$$

откуда при $\bar{\Lambda} = 1$ сразу следует (16), а при $\bar{\Lambda} = \infty$ — (12).

Границы областей частичной устойчивости находятся согласно [3]. Пусть $x_\alpha = u_\alpha = 0$ и $\mu_\alpha = v_\alpha/y_\alpha$. Тогда из дисперсионных уравнений (2) получим

$$y_\alpha^{-2} = (1 - M_\alpha^2)(\mu_\alpha - \mu_{\alpha-})(\mu_{\alpha+} - \mu_\alpha), \quad (18)$$

где

$$\mu_{\alpha-} = -(M_{\alpha}^{-1} + 1)^{-1}; \quad \mu_{\alpha+} = (M_{\alpha}^{-1} - 1)^{-1},$$

так что $y_{\alpha}=\infty$ при $\mu_{\alpha}=\mu_{\alpha\mp}$. Значение $y_{\alpha}=\infty$ соответствует, согласно [3], правой границе (13). Значение $\bar{\Lambda}$ при этом определяется из соотношения

$$\bar{\Lambda} = \frac{1}{\bar{v}_1} \frac{(1+\psi)\bar{v}_1 - \bar{v}_2}{(2+\psi) - \bar{v}_2}, \quad (19)$$

следующего из (6). Здесь

$$\bar{v}_{\alpha} = v_{\alpha i}/y_{\alpha} = (1 - M_{\alpha}^2)(1 + \mu_{\alpha}).$$

Подстановка критических значений $\mu_{\alpha\mp}$ в (19) дает четыре кривых, условно обозначаемых как $+-$; $--$; $++$; $-+$ (например, $+-$ означает $\mu_1=\mu_{1+}$ и $\mu_2=\mu_{2-}$). Можно показать в общем случае, что при $M_1 < M_{1+}$ имеют место неравенства

$$n_{+-} > n_{--} > n_{++} > n_{-+}. \quad (20)$$

Физический смысл полученных границ таков. Пусть θ_{α} — угол между нормалью к фронту, направленной в среду 2, и направлением акустического возмущения. Тогда абсолютная скорость возмущения

$$u_c - c_{\alpha} \leq U_{\alpha} = u_{\alpha} + c_{\alpha} \cos \theta_{\alpha} \leq u_{\alpha} + c_{\alpha},$$

и случай $-1 < \cos \theta_1 < -M_1$ соответствует излучению фронтом возмущения в среду 1, $-M_1 < \cos \theta_1 < 1$ — падению из среды 1 на фронт, $-M_2 < \cos \theta_2 < 1$ — излучению в среду 2, $-1 < \cos \theta_2 < -M_2$ — падению из 2 на фронт. Значения $\cos \theta_1 = \mp 1$ и $\cos \theta_2 = \pm 1$ являются предельными, и, например, ситуация $+-$ соответствует случаю $\cos \theta_1 = -1$ ($v_1 = v_{1+} = 1 + M_1$) и $\cos \theta_2 = 1$ ($v_2 = v_{2-} = 1 - M_2$).

Границы областей частичной устойчивости, соответствующие случаям $u_1=0$, $u_2<0$ и $u_1>0$, $u_2=0$, т. е. $y_{\alpha}=\infty$ [3], невозможны, так как, например, при $u_1=0$, $u_2<0$ условие $y_1=\infty$ несовместимо с требованием вещественности u_2 , которое имеет вид

$$y_2^2 = \lambda^2 y_1^2 < M_2^{-2} - 1.$$

Резюмируя проведенное исследование, приходим к выводу, что на диаграмме $n-M_1$ помимо ранее полученной границы области абсолютной устойчивости n_6 (4) имеется еще только одна такая граница n_1 (15) и 4 кривых — границы областей частичной устойчивости: $n_2(+ -)$, $n_3(--)$; $n_4(++)$, $n_5(- +)$. Эти кривые при $\gamma=7/5$ и $\omega^2=10$ нанесены на рис. 1, причем области устойчивости заштрихованы (кривая n_6 находится вне рисунка). Для иллюстрации влияния γ и ω^2 на рис. 2 нанесены кривые n_1 при $\gamma=7/5$ (1, 3), $\gamma=1$ (2, 4) и $\omega^2=10$ (1, 2), $\omega^2=1$ (3, 4) (вертикали соответствуют дефлаграции Чепмена — Жуге).

Информация по значениям нормальной скорости распространения фронта пламени u_1 и ее зависимости от p_1 есть, например, в [8—11]. Экспериментальные значения для многих углеводородов находятся в пределах $0,7 \div 1,25$ [9]. Из рис. 1 следует, что при реальных достаточно малых значениях M_1 учет сжимаемости среды не приводит к стабилизации фронта пламени. Стабилизация, если и возможна, то лишь в режимах, близких к дефлаграции Чепмена — Жуге, как это и предполагалось в [1]. Отметим, что в отличие от [1] здесь получена область

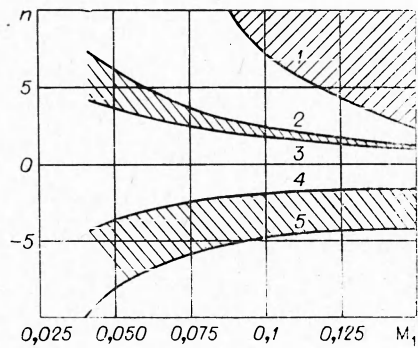


Рис. 1.

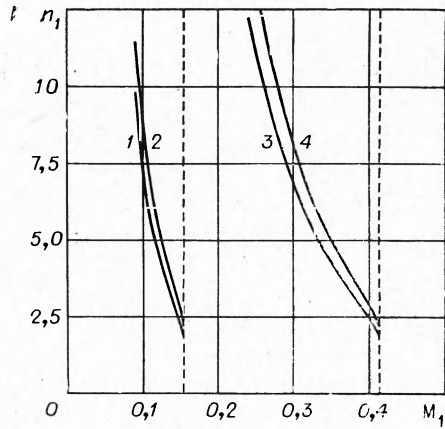


Рис. 2.

абсолютной устойчивости и при $n = n_1 > 0$, причем критические значения $n_1 < |n_6|$.

Реальные пламена обладают достаточно большими значениями безразмерного теплового эффекта ω^2 , так что критические значения n для них могут быть порядка $(\omega M_1)^{-2}$ для n_1 и $(\omega M_1)^{-1}$ — для n_2 . Следовательно, несмотря на малое значение M_1 , величины $n_{1,2}$ могут быть ~ 1 . Если использовать оценку j по теории нормальной скорости [8, 9]

$$j \approx \sqrt{2 \frac{\kappa}{q} \int_{T_1}^{T_2} \theta dT},$$

где κ — коэффициент теплопроводности и θ — скорость химической реакции [$\text{кг}/(\text{м}^3 \cdot \text{с})$], то для $n_{1,2}$ получаются оценки, не зависящие от q .

Учет реальных свойств в первом приближении означает введение разных значений μ_α и $c_{v\alpha}$, а значит, и γ_α . Можно показать, что при $\gamma_2 < \gamma_1$ реальное n_1 по сравнению с его идеальным значением увеличивается.

В заключение обратим внимание на принципиальную возможность распространения фронта пламени с повышением плотности и давления (случай, для которого можно гарантировать, согласно [7], гидродинамическую устойчивость). Такая возможность реализуется при $\mu_2 > \mu_1$, $c_{p2} > c_{p1}$, $\gamma_2 < \gamma_1$, и горение с повышением температуры идет при условии

$$1 < \frac{c_{p1}T_1 + q}{c_{p2}T_1} < \frac{\mu_2}{\mu_1}. \quad (21)$$

При таком процессе, очевидно, отсутствуют как дефлаграция, так и детонация Чепмена — Жуге.

С термодинамической точки зрения обсуждаемый процесс в принципе возможен, так как энтропия продуктов сгорания при исходных значениях p_1 и T_1 всегда выше энтропии горючей смеси. Равновесная кривая Гюгонио для продуктов сгорания располагается в данном случае слева от исходной точки, и из двух возможных конечных состояний, соответствующих заданному значению j , реализуется состояние с большими значениями плотности и давления, поскольку оно обладает большей энтропией. Последнее обстоятельство следует из монотонного

возрастания энтропии при уменьшении плотности на кривой Гюгонио, что доказывается с помощью неравенств (21). По-видимому, такое аномальное горение может наблюдаться в «холодных» пламенах [8].

Поступила в редакцию
18/I 1977

ЛИТЕРАТУРА

1. А. С. Плещанов. ФГВ, 1975, **11**, 4, 665.
2. С. П. Дьяков. ЖЭТФ, 1974, **27**, 288.
3. А. С. Плещанов. ФГВ, 1976, **12**, 3, 474.
4. Л. Д. Ландау, Е. М. Лифшиц. Механика сплошных сред. М., Гостехиздат, 1954.
5. А. С. Плещанов. ПМТФ, 1964, 4, 130.
6. П. П. Лазарев, А. С. Плещанов. ФГВ, 1976, **12**, 4, 615.
7. Л. Д. Ландау. ЖЭТФ, 1944, **14**, 240.
8. А. С. Соколик. Самовоспламенение, пламя и детонация в газах. М., Изд-во АН СССР, 1960.
9. Е. С. Щетинков. Физика горения газов. М., «Наука», 1965.
10. В. С. Бакин. Канд. дис. Новосибирск, ИХКиГ, 1965.
11. А. В. Вьюн. Канд. дис. Новосибирск, ИХКиГ, 1975.

ИССЛЕДОВАНИЕ ГОРЕНИЯ ВОДОРОДНО-КИСЛОРОДНОЙ СМЕСИ В УСЛОВИЯХ НЕВЕСОМОСТИ

Л. К. Парфенов

(Томск)

Процессам горения и распространения пламени в горючих смесях в нормальных условиях посвящено много работ. В то же время практически отсутствуют исследования, рассматривающие вопросы горения и распространения пламени в горючих смесях в условиях невесомости. Распространено мнение, что конвекция благоприятствует распространению пламени снизу вверх, вследствие чего пределы распространения пламени при движении его вверх шире [1]. С другой стороны, авторы работ [2—4] считают, что конвекция играет отрицательную роль при распространении пламени, т. е. уменьшение конвекции должно приводить к расширению области воспламенения. Обнаруженный верхний предел по давлению, по мнению авторов [5], есть результат воздействия конвекции на процесс распространения пламени.

С целью изучения роли конвекции разработана экспериментальная установка (рис. 1), состоявшая из следующих элементов: генератор импульсов зажигания, внешняя капсула 3, внутренняя капсула 4, камера сжигания 2, жестко закрепленная во внутренней капсуле, кинокамера 5, электромагнитный зажигатель 1.

Экспериментальная установка позволяла получить состояние невесомости в течение $1 \div 1,5$ с. Необходимую информацию о влиянии невесомости на пределы распространения пламени ожидалось получить из экспериментов по измерению видимой скорости распространения пламени в нормальных условиях и в условиях невесомости. Скорость измерялась с помощью двух 50-микронных термопар, установленных в камере сжигания. Первая термопара была удалена от разрядного промежутка на 0,05 м, вторая — на 0,1 м. Абсолютная погрешность изме-